

**Research Paper**

Kinematic Standard Point Positioning (SPP) based on Kalman Filter and C/A Code Observations Under Intense Geomagnetic Storm Conditions

Fereydon Nobakht Orsi^{1*}, Abdolreza Safari² and Amir Khodabandeh³

1, 2. School of Surveying and Geospatial Engineering, Faculty of Engineering, University of Tehran,
Tehran, Iran

3. GNSS Research Centre, Department of Spatial Sciences, Curtin University of Technology, Perth,
Australia

* **fndr1361@gmail.com**

In this paper, we discussed the standard point positioning technique based on the single frequency code-based (C/A) receivers. Then, we presented its performance by means of different measures. However, the use of one single-frequency GPS receiver to obtain high-precision positioning make a major challenge due to the environmental biases, in particular, the ionospheric effects are handled. The main objective of the present study is to integrate an ionospheric model such as Klobuchar Ionospheric Model (KIM) with imprecise code (C/A) observations under intense geomagnetic storm conditions, then, to obtain dm level positioning accuracy using Kalman filter. For this purpose, we used code (C/A) observations on two different days (February 26, 2018, and December 20, 2015) at Tehran station. The results show that we could obtain multi-dm level positioning accuracy under geomagnetic storm condition by using Kalman filter that will be important in the field of kinematic applications.

Keywords: Kalman filter, Geomagnetic storm, SPP, GPS, KIM

1. PhD Student (Corresponding Author)

2. Professor

3. Assistant Professor

مقاله علمی - پژوهشی

تعیین موقعیت نقطه‌ای استاندارد (SPP) کینماتیکی در شرایط طوفان ژئومغناطیسی شدید با استفاده از فیلتر کالمن و مشاهدات کد C/A

فریدون نوبخت ارسی^{۱*}، عبدالرضا صفری^۲ و امیر خدابنده^۳

۱- دانشکده مهندسی نقشه‌برداری و اطلاعات مکانی، دانشگاه تهران، تهران، ایران

۳- مرکز تحقیقات GNSS، دانشکده علوم زمین، دانشگاه صنعتی کرتبی، پرت، استرالیا

* fnobakht@ut.ac.ir

تعیین موقعیت نقطه‌ای استاندارد (SPP) با استفاده از یک گیرنده تک فرکانس GPS با یک چالش اصلی به خاطر بایاس‌های محیطی (بخصوص تأخیرات یونسferی) مواجه است. هدف اصلی مقاله حاضر، آن است که تأخیرات یونسferیک را با استفاده از یک مدل یونسferی غیر دقیق مانند مدل کلابچار مدل‌سازی نماید و سپس آن را با مشاهدات غیر دقیق کد (C/A) در شرایط طوفان ژئومغناطیسی شدید تتفیق نماید و با بکارگیری الگوریتم فیلتر کالمن به دقت‌هایی در سطح دسی‌متر برسد. برای این منظور مشاهدات کد C/A در روزهای ۲۶ فوریه ۲۰۱۵ و ۲۰ دسامبر ۲۰۱۵ در ایستگاه دائمی تهران جمع‌آوری شده است. نتایج حاصل از فیلترینگ کالمن، نشان دهنده دست‌یابی به دقت‌هایی در سطح چند دسی‌متر برای تمام موارفه‌های مختصاتی در شرایط طوفان ژئومغناطیسی شدید است که در بسیاری از کاربردهای کینماتیکی می‌تواند پراهمیت باشد. همچنین، آنالیز نتایج نشان می‌دهد که با بکارگیری مدل کلابچار، دقت تعیین موقعیت نقطه‌ای SPP حدود ۲۰٪ در روز ۲۶ فوریه ۲۰۱۵ و حدود ۲۱٪ در روز ۲۰ دسامبر ۲۰۱۵ بهبود می‌یابد.

واژه‌های کلیدی: فیلتر کالمن، طوفان ژئومغناطیسی، GPS، SPP، مدل کلابچار

$P_{k k-1}$	ماتریس کووریانس بردار حالت در اپوک k
$\Phi_{k,k-1}$	ماتریس انتقال وضعیت از اپک t _k به t _{k-1}
$\sigma_{p_{r,j}}^2$	وریانس مشاهدات غیرتفاضلی کد

مقدمه

روش تعیین موقعیت نقطه‌ای استاندارد (SPP^۴) براساس مشاهدات کد C/A (شبیه فاصله) دارای این قابلیت است که موقعیت یک نقطه را با استفاده از یک گیرنده و با دقت چند دسی‌متر تعیین کند. تأخیرات یونسferیک، چالشی بزرگ برای دست‌یابی به موقعیت‌های

علامه و اختصارات

C/A	مشاهده کد
$\Delta\tilde{p}_{r,j}^s$	معادله مشاهده غیرتفاضلی تصحیح شده کد
μ_j	ضریب تاخیرات یونسferی
u_r^s	بردار یکه گیرنده-ماهواره
$R_{\Delta y \Delta y}$	ماتریس وریانس-کووریانس مشاهدات
$\Delta x_{k k-1}$	بردار حالت در اپوک k

۱. دانشجوی دکتری (نویسنده مخاطب)

۲. استاد

۳. پژوهشگر

که $\Delta\tilde{p}_{r,j}^s = \Delta p_{r,j}^s + dt^s + \tilde{\tau}_r^s + \mu_j \tilde{I}_r^s + TGD^s$ بیانگر معادله مشاهده غیرتفاضلی تصحیح شده کد می‌باشد. s و $\tilde{\tau}_r^s$ به ترتیب دلالت بر خطای ساعت ماهواره و تأخیرات تروپسفری می‌کند. تأخیرات یونسفری بر روی فرکانس (L_1) که دارای ضرب $\zeta = \frac{\tilde{\tau}_r^s}{dt^s}$ است با \tilde{I}_r^s نشان داده شده است. TGD^s ^۷ پارامتری است که در فایل ناوبری ماهواره قابل دستیابی است. بردار یکه گیرنده-ماهواره از طریق $u_r^s = \frac{r^{s,0}-r_r^0}{\|r^{s,0}-r_r^0\|}$ محاسبه می‌شود. $r^s = [x^s \ y^s \ z^s]^T$ و $r_r^0 = [x_r \ y_r \ z_r]^T$ به ترتیب نشان دهنده بردارهای موقعیت ماهواره و گیرنده با مقادیر تقریبی $r^{s,0}$ و r_r^0 در یک سیستم مختصات ژئوستراتیک جهانی هستند. Δx_r و $d\tilde{\tau}_r$ بیانگر نمو مختصات و خطای ساعت گیرنده است که به صورت پارامترهای مجهول در معادله مشاهده غیرتفاضلی کد ظاهر می‌شوند. ϵ نویز گیرنده است. با درنظر گرفتن تمام اندازه‌گیری‌های تصحیح شده در رتبه-کامل SPP کد-مینا به صورت زیر است:

$$E \begin{pmatrix} \Delta\tilde{p}_{r,1}^1 \\ \Delta\tilde{p}_{r,1}^2 \\ \vdots \\ \Delta\tilde{p}_{r,1}^m \end{pmatrix} = \underbrace{\begin{bmatrix} u_r^{1T} & 1 \\ u_r^{2T} & 1 \\ \vdots & \vdots \\ u_r^{mT} & 1 \end{bmatrix}}_A \begin{bmatrix} \Delta x_r \\ d\tilde{\tau}_r \end{bmatrix} \quad (2)$$

که در آن A ماتریس ضرایب است. Δy و Δx به ترتیب بردار اندازه‌گیری‌های کد (مشاهده شده-منهای-محاسبه شده) و بردار مجهولات است. معادلات مشاهدات خطی شده (۲) در فرم بسته آن و همراه با ماتریس وریانس-کووریانس مشاهدات به صورت رابطه (۳) قابل بیان است:

$$E\{\Delta y\} = A\Delta x, \quad D\{\Delta y\} = R_{\Delta y \Delta y} \quad (3)$$

E{...} و D{...} اپراتورهای ریاضی که به ترتیب بیانگر امید ریاضی^۸ و پخش^۹ می‌باشند. $R_{\Delta y \Delta y}$ نشان دهنده ماتریس وریانس-کووریانس مشاهدات باشد.

معادلات مشاهدات غیرتفاضلی کد برای گیرنده منفرد باید در طول زمان فیلتر شود. بنابراین باید یک مدل خطی به صورت یک سیستم دینامیکی بیان شود که در این سیستم دینامیکی، بردار حالت، همان پارامترهای مجهول (Δx) است. در طراحی فیلتر ناوبری GPS برای اهداف کینماتیکی تعیین موقعیت، مدل خطی موقعیت-سرعت (PV') استفاده می‌شود [۱۱]. در این مورد، بردار حالت شامل سه مؤلفه مختصات، سه مؤلفه سرعت و یک مؤلفه

دقیق در این روش بشمار می‌رود. اثرات یونسفریک را می‌توان در روش‌های تقاضلی با تشکیل ترکیبات خطی عاری از یونسفر حذف کرد و به دقت‌هایی در سطح سانسیتی متر دست یافت [۸، ۲]. اما کاربران SPP با گیرنده‌های تک فرکانسی-کد نمی‌توانند ترکیبات عاری از یونسفر را تشکیل دهند [۸] در نتیجه نیاز به تصحیحات یونسفریک از یک منبع بیرونی دارند.

علاوه بر روش SPP، می‌توان مختصات یک نقطه را با استفاده از روش تعیین موقعیت مطلق و با به کارگیری مشاهدات کد نیز انجام داد [۵] اما این تکنیک، فقط برای دست‌یابی به دقت‌هایی در سطح چند متر مناسب است. غیردقيق بودن این روش، ناشی از دقت پایین مشاهدات کد و ساعت ماهواره و نیز نویز مشاهدات کد است [۲]. بنابراین؛ تکنیک تعیین موقعیت مطلق برای کاربردهای دقیق مناسب نیست.

در تعیین موقعیت نقطه‌ای SPP با گیرنده‌های تک فرکانسی-کد و در شرایط طوفان ژئومغناطیسی شدید از مشاهدات غیرتفاضلی کد استفاده می‌شود. شرایط ژئومغناطیسی شدید باعث افزایش خطای یونسفر و در نتیجه کاهش دقت تعیین موقعیت می‌شود [۴]. به منظور اینکه دقت روش SPP به طور چشمگیری بهبود پیدا کند لازم است خطای یونسفریک از مشاهدات کد حذف شود.

تحقیقات اخیر نشان می‌دهد که این روش برای دستیابی به دقت‌هایی در سطح دسی‌متر برای کاربردهای کینماتیک با یک گیرنده دو فرکانس مناسب است [۲، ۵] اما برای گیرنده تک فرکانسی به خصوص برای مؤلفه ارتفاعی دقت کاهش می‌یابد [۵] که یکی از دلایل آن مدل‌سازی غیردقيق یونسفر است. مرسم‌ترین روش برآورد خطای یونسفر، استفاده از ضرایب یونسفریک انتشار یافته (چهار پارامتر آلفا و چهار پارامتر بتا) از ماهواره‌های GPS^{۱۰} در ترکیب با مدل کالابچار^{۱۱} است. مهم‌ترین مزیت این مدل، آن است که می‌توان آن را به صورت آنی برای تصحیح مشاهدات تک فرکانسی به کار برد [۶].

بنابراین، اساسی‌ترین هدف این تحقیق، آن است که یک الگوریتم مانند فیلتر کالمون را ارائه کند که کارایی پردازش مشاهدات C/A در حالت کینماتیک و در شرایط طوفان ژئومغناطیسی شدید با گیرنده‌های تک فرکانس جهت برآورد نهایی مختصات را داشته باشد. سپس سنتجه‌های مطلوب و مؤثر در بهبود کیفیت جواب‌های تعیین موقعیت برآورد شده SPP، را نشان دهد.

مدل تابعی SPP در حالت کینماتیک

مدل خطی شده مشاهده کد C/A برای یک گیرنده منفرد (r) که ماهواره را بر روی فرکانس $f = 1$ ریلی کرده است به صورت زیر است [۶]:

$$\Delta\tilde{p}_{r,j}^s = u_r^{sT} \Delta x_r + d\tilde{\tau}_r + \epsilon \quad (1)$$

⁵ Global Positioning System
⁶ Klobuchar

⁷ Total/Timing Group Delay

⁸ Mathematical expectation operator

⁹ Mathematical dispersion operator

¹⁰ Position-Velocity

$$\Phi_{k,k-1} = \begin{bmatrix} 1 & \Delta t & 0 & 0 & 0 & 0 & 0 \\ 0 & 1 & 0 & 0 & 0 & 0 & 0 \\ 0 & 0 & 1 & \Delta t & 0 & 0 & 0 \\ 0 & 0 & 0 & 1 & 0 & 0 & 0 \\ 0 & 0 & 0 & 0 & 1 & \Delta t & 0 \\ 0 & 0 & 0 & 0 & 0 & 1 & 0 \\ 0 & 0 & 0 & 0 & 0 & 0 & 1 \end{bmatrix} \quad (8)$$

$$Q_{k-1} = S_p \begin{bmatrix} \frac{\Delta t^3}{3} & \frac{\Delta t^2}{2} & 0 & 0 & 0 & 0 & 0 \\ \frac{\Delta t^2}{2} & \Delta t & 0 & 0 & 0 & 0 & 0 \\ 0 & 0 & \frac{\Delta t^3}{3} & \frac{\Delta t^2}{2} & 0 & 0 & 0 \\ 0 & 0 & \frac{\Delta t^2}{2} & \Delta t & 0 & 0 & 0 \\ 0 & 0 & 0 & 0 & \frac{\Delta t^3}{3} & \frac{\Delta t^2}{2} & 0 \\ 0 & 0 & 0 & 0 & \frac{\Delta t^2}{2} & \Delta t & 0 \\ 0 & 0 & 0 & 0 & 0 & 0 & \Delta t \end{bmatrix}$$

که s_p توان چگالی طیفی مرتبط با مختصات است.
 $\Delta t = t_k - t_{k-1}$ دلالت بر سرعت گیرنده می‌کند.
 براورد نهایی بازه زمانی نخست مشاهدات است. برآورد زیر بدست می‌آید:

$$\begin{aligned} \Delta x_{k|k} &= \Delta x_{k|k-1} + K_k(\Delta y_k - A_k \Delta x_{k|k-1}) \\ P_{k|k} &= (I - K_k A_k) P_{k|k-1} \end{aligned} \quad (9)$$

که I بیانگر ماتریس یکه است. بهره کالمن با نماد $K_k = P_{k|k-1} A_k^T (R_k + A_k P_{k|k-1} A_k^T)$ نشان داده می‌شود. روابط (۹) به معادلات تصحیح معروف است.

مدل یونسfer کلابچار

در دهه‌های اخیر؛ چندین مدل فیزیکی برای یونسfer جهانی به طور گسترده‌ای مورد تحقیق قرار گرفته است. معروف‌ترین مدل یونسferی فیزیکی جهانی، مدل کلابچار است که در پیغام ناوبری ماهواره‌های GPS مخابره می‌شود. در این تحقیق، به رغم اینکه تصحیحات یونسferی به دست آمده از این مدل، دارای دقت کمتری در مقایسه با مدل‌های یونسferی حاصل از شبکه ایستگاه‌های دائمی است ولی، کارایی این مدل در کاربردهای کینماتیک مورد آنالیز قرار گرفته است. این مدل شامل دو مرحله اساسی است؛ ۱) ابتداء، تأخیر یونسferی مایل با استفاده ازتابع نگاشت سکانت بر روی تأخیر زنیتی نگاشته می‌شود (۲) تعییرات روزانه تأخیر زنیتی به صورت یک تابع سینوسی در طول روز و یک مقدار ثابت $1/5$ متر در طول شب مدل می‌شود [۸]. تأخیر زنیتی یونسfer به صورت رابطه زیر است [۱۰، ۹] :

$$\begin{cases} I_{v,r}^s = c[5.10^{-9} + A \cos X_l] \times m(E), & |X_l| < \frac{\pi}{2} \\ c.5.10^{-9} \times m(E) \approx 1.5m, & |X_l| \geq \frac{\pi}{2} \end{cases} \quad (10)$$

که

با ایاس ساعت گیرنده است. شکل ماتریسی مدل PV به صورت رابطه (۴) می‌توان بیان کرد [۴]:

$$\begin{bmatrix} \dot{x}_1 \\ \dot{x}_2 \\ \dot{x}_3 \\ \dot{x}_4 \\ \dot{x}_5 \\ \dot{x}_6 \\ \dot{x}_7 \end{bmatrix} = \begin{bmatrix} 0 & 1 & 0 & 0 & 0 & 0 & 0 \\ 0 & 0 & 0 & 0 & 0 & 0 & 0 \\ 0 & 0 & 0 & 1 & 0 & 0 & 0 \\ 0 & 0 & 0 & 0 & 0 & 0 & 0 \\ 0 & 0 & 0 & 0 & 0 & 1 & 0 \\ 0 & 0 & 0 & 0 & 0 & 0 & 0 \\ 0 & 0 & 0 & 0 & 0 & 0 & 0 \end{bmatrix} \begin{bmatrix} x_1 \\ x_2 \\ x_3 \\ x_4 \\ x_5 \\ x_6 \\ x_7 \end{bmatrix} + \begin{bmatrix} 0 \\ u_2 \\ 0 \\ u_4 \\ 0 \\ u_6 \\ u_7 \end{bmatrix} \quad (4)$$

که در آن $x_3 x_1$ و $x_5 x_6$ نشان‌دهنده موقعیت گیرنده است. $x_6 x_2$ و x_7 دلالت بر سرعت گیرنده می‌کنند. x_7 نیز با ایاس ساعت گیرنده است. u_2, u_4, u_6, u_7 بیانگر نویز سیستم است. این پارامترها را می‌توان در یک سیستم مختصات ژئوستراتئیک به دست آورد. همچنین بردار حالت در یک سیستم مختصات محلی (NEU) نیز در دسترس است که در این حالت لازم است مختصات از سیستم ژئوستراتئیک به سیستم محلی تبدیل شود.

بردار حالت و ماتریس کووریانس آن در یک سیستم مختصات محلی با روش شناخته شده فیلتر کالمن برای اهداف ناوبری با GPS به صورت زیر در اپوک k پیش‌بینی می‌شود [۴، ۲]:

$$\begin{aligned} \Delta x_{k|k-1} &= \Phi_{k,k-1} \Delta x_{k-1|k-1} + \omega_k \\ P_{k|k-1} &= \Phi_{k,k-1} P_{k-1|k-1} \Phi_{k,k-1}^T + Q_k \end{aligned} \quad (5)$$

که $\Delta x_{k|k-1}$ بیانگر مقدار پیش‌بینی بردار حالت در اپک t_k است. $\Phi_{k,k-1}$ ماتریس انتقال وضعیت از اپک t_{k-1} به t_k است. ω_k بردار نویز سیستم است. $P_{k|k-1}$ ماتریس کووریانس وضعیت است. Q_k ماتریس کووریانس نویز سیستم است. روابط (۵) به معادلات پیش‌بینی معروف است. مدل اندازه‌گیری که بردار حالت را با مشاهدات غیرتفاضلی کد ارتباط می‌دهد به صورت رابطه (۶) بیان می‌شود:

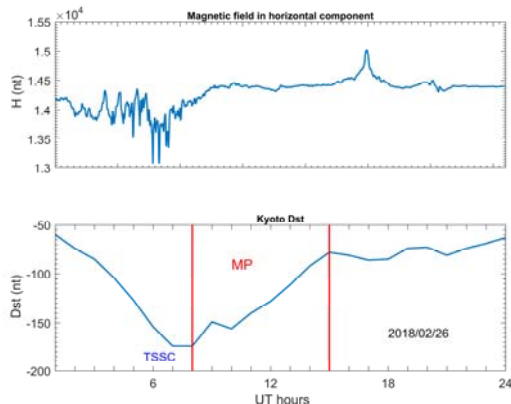
$$\Delta y_k = A_k \Delta x_k + v_k \quad (6)$$

v_k بردار نویز اندازه‌گیری‌ها است. با فرض اینکه اندازه‌گیری‌ها مستقل از هم هستند، ماتریس وریانس-کووریانس که در فیلتر کالمن استفاده می‌شود به شکل زیر داده می‌شود [۱۲]:

$$\begin{aligned} R_k &= \text{diag} \left(\sigma_{p_{r,j}^1}^2, \dots, \sigma_{p_{r,j}^m}^2 \right) \\ \sigma_{p_{r,j}^s}^2 &= \sigma_0^2 (1/\sin \theta^s)^2 \end{aligned} \quad (7)$$

که $(j=1) \sigma_{p_{r,j}^s}^2$ نشان‌دهنده وریانس مشاهدات غیرتفاضلی کد است. در این مطالعه وریانس مشاهدات غیرتفاضلی کد به صورت یک تابع سینوسی در نظر گرفته شده است. در تعیین موقعیت کینماتیکی، ماتریس‌های $\Phi_{k,k-1}$ و Q_k به صورت زیر به دست می‌آیند [۱]:

فریدون نوبخت ارسی، عبدالرضا صفری و امیر خدابنده



شکل ۱- (نمودار بالا): مؤلفه افقی میدان ژئومغناطیسی، (نمودار پایین) شاخص Dst براساس Kyoto Dst روز ۲۶ فوریه ۲۰۱۸

نتایج عددی

این بخش، کیفیت نتایج SPP را برای یک گیرنده منفرد در شرایط طوفان‌های ژئومغناطیسی شدید، براساس تصحیحات یونسferی غیر دقیق کلابچار و با استفاده از مشاهدات کد C/A و الگوریتم فیلتر کالمن مورد بحث و بررسی قرار می‌دهد. در این مطالعه، از مشاهدات کد C/A از اندازه‌گیری‌های پیوسته گیرنده دو فرکانسه UZ-12 ASHTECH متعلق به آتن SNOW ASH701945B_M GPS مربوط به ایستگاه دائمی GPS تهران (طول جغرافیایی $51^{\circ}33'41''$ شرقی و عرض جغرافیایی $35^{\circ}56'97''$ شمالی) از شبکه IPGN^{۱۲} استفاده شده است. تمامی فایل‌های مشاهداتی و ناوبری GPS در قالب فایل فشرده RINEX^{۱۳} برای هر روز در [۱۴] در دسترس هستند. داده‌ها برای روزهای ۲۶ فوریه ۲۰۱۸ و ۲۰ دسامبر ۲۰۱۵ با پوشش زمانی پنج ساعت و نرخ 30° ثانیه جمع‌آوری شده است. مدار ماهواره‌ها از فایل ناوبری استخراج شده است. ذکر این نکته ضروری است که هرچند، ایستگاه دائمی GPS مورد مطالعه، مجهز به گیرنده دو فرکانسه است ولی در این آنالیز، فقط مشاهدات کد C/A بررسی کارایی روش SPP در حالت کینماتیک استفاده شده است.

شکل‌های (۲) و (۳) به ترتیب نمودار رؤیت آسمانی ماهواره‌ها و نمودار تعداد ماهواره‌ها برای فاصله زمانی ۵ ساعت را نشان می‌دهند. این شکل‌ها، ماهواره‌های قابل رویت را نمایش می‌دهد که در محاسبات SPP مورد استفاده قرار گرفته‌اند. حداقل ماهواره‌های قابل رویت، که به طور همزمان ردیابی شده‌اند، به تعداد ۱۰ ماهواره است. نمودار PDOP^{۱۴} در شکل (۴) نمایش داده شده است. مقادیر PDOP‌ها دارای میانگین تقریبی ۲ است.

$$X_I = \frac{2\pi(t_f^S - 50400)}{P}$$

$$A = \sum_{n=0}^3 \alpha_n \left(\frac{\varphi_I}{\pi}\right)^n$$

$$P = \sum_{n=0}^3 \beta_n \left(\frac{\varphi_I}{\pi}\right)^n$$

$$t = t_{GPS} + \frac{86400}{2\pi} \lambda_I$$

در این روابط $I_{v,r}^S$ تاخیر زنیتی یونسferی در واحد [s] است. X_I نشان‌دهنده فاز تأخیر یونسferی با واحد رادیان است. سرعت نور با علامت c و با واحد [m/s] بیان شده است. طول و عرض ژئومغناطیسی نقطه IPP^{۱۱} به ترتیب با λ_I و φ_I نشان داده شده است. t . t_{GPS} زمان محلی در نقطه IPP با واحد [s] است. A و P به ترتیب نشان‌دهنده دامنه و پریود تأخیر یونسferی با واحد [s] است. $m(E) = 1.0 + 16.0(0.53 - E)^3$ تابع نگاشت است.

$\alpha_n (n = 0, \dots, 3)$ و $\beta_n (n = 0, \dots, 3)$ دلالت بر ضرایب کلابچار برای دامنه و پریود دارند که از طریق پیغام ناوبری ماهواره‌های GPS انتشار می‌یابند. مدل کلابچار با به کارگیری این پارامترها می‌تواند تا 50% از تأخیر یونسferی را تصحیح کند [۷] و دقیت تعیین موقعیت را به سطح ۴ متر تا ۲ متر برساند [۸] که برای تعیین موقعیت‌های در سطح دسی‌متر کافی نیست. این مدل بسیار مناسب برای گیرنده‌های تک فرکانسه است.

طوفان ژئومغناطیسی شدید

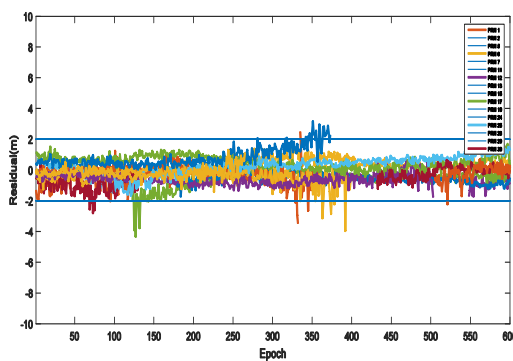
تحقیق حاضر در شرایط طوفان‌های ژئومغناطیسی شدید در روزهای ۲۶ فوریه ۲۰۱۸ و ۲۰ دسامبر ۲۰۱۵ انجام شده است. برای نمونه، تغییرات مؤلفه افقی میدان ژئومغناطیسی برای روز ۲۶ فوریه ۲۰۱۸ در شکل (۱) نشان داده شده است که در آن $H_{t_{min}} = 13070$ nt و $H_{t_{max}} = 15020 - 13070$ nt پارامترهای اساسی میدان ژئومغناطیسی که در نمودار نمایش داده شده است، شامل زمان $T_{SSC} = 7:00$ ، پریود فاز اولیه $(IP = 7:00 \sim 8:00)$ ، فاز اصلی $(MP = 8:00 \sim 15:00)$ و فاز بازیابی $(RP = 15:00 \sim 20:00)$ است. علاوه بر آن، اندازه این طوفان برابر با $Dst_{min} = -174$ nt و $Kp_{max} = 3$ است. تلاطم یونسferی که در شکل (۱) نشان داده شده است یک نمونه از طوفان ژئومغناطیسی شدید است که در روز ۲۶ فوریه ۲۰۱۸ رخ داده است. پارامترهای میدان ژئومغناطیسی برای روز ۲۰ دسامبر ۲۰۱۵ نیز عبارتند از: $H_{t_{min}} = 7160$ nt، $H_{t_{max}} = 7770 - 7160$ nt، $IP = 3:00 \sim 4:00$ ، $T_{SSC} = 3:00$ ، $MP = 4:00 \sim 10:00$ و $RP = 10:00 \sim 15:00$. علاوه بر این پارامترها، اندازه این طوفان نیز برابر با $Dst_{min} = -155$ nt و $Kp_{max} = 7$ است.

12 Iran Permanent Geodetic Network

13 Receiver Independent Exchange

14 Position Dilution of Precision

11 Ionospheric Pierce Point

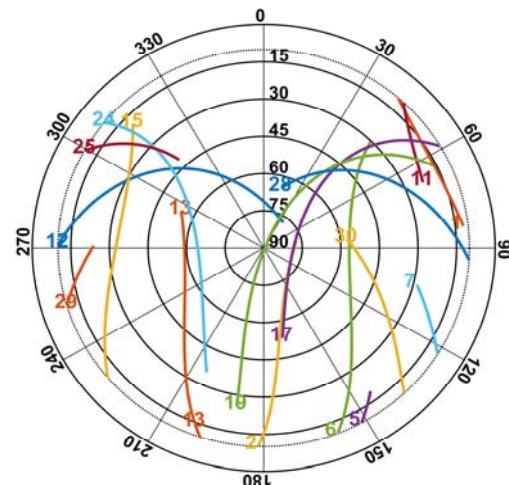


شکل ۵- باقی‌مانده مشاهدات کد C/A

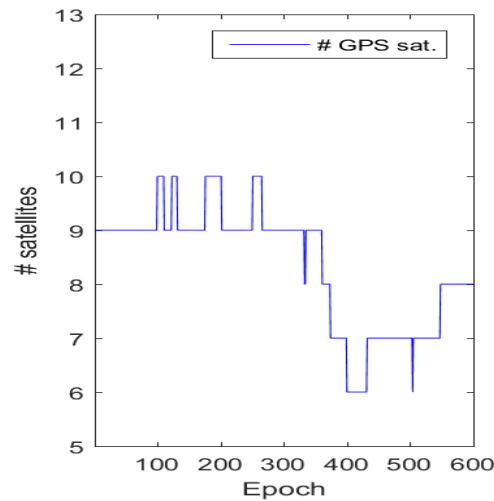
به منظور تعیین موقعیت نقطه‌ای SPP در حالت کینماتیک براساس مشاهدات کد C/A در ایستگاه دائمی تهران، تصحیحات یونسفری از طریق مدل کلابچار به مشاهدات اعمال شده است. در شکل (۵) باقی‌مانده اندازه‌گیری‌ها (شبه فاصله) پس از اعمال تصحیحات یونسفری کلابچار برای تمام ماهواره‌ها و به صورت اپک به اپک نشان داده شده است. باقی‌مانده اندازه‌گیری‌ها بدون حل اهمام فاز صحیح بدست آمده است. در بیشتر موارد مشاهده می‌شود که باقی‌مانده اندازه‌گیری‌ها در بازه $\pm 2\text{m}$ قرار دارند.

در این مطالعه، سنجه‌هایی مانند: میانگین، انحراف معیار (std)، خطای ریشه میانگین مربعی (rms)، انحراف معیار مؤلفه‌های بردار وضعیت سیستم و آزمون‌های آماری مرتبه با خطای وضعیت سیستم و باقی‌مانده مشاهدات، برای ارزیابی کیفیت SPP استفاده می‌شود. شکل (۶) نتایج حاصل از فیلترینگ کالمن را برای خطاهای تعیین موقعیت کینماتیکی SPP در راستای مؤلفه‌های افقی (N,E) و قائم (U) (نمودار بالا) و توزیع خطاهای (نمودار پایین) نشان می‌دهد. فیلتر کالمن برای نویز کووریانس فرآیند $S_p = 10^{-3} \frac{\text{m}^2}{\text{rad.s}}$ به حالت پایدار می‌رسد. شکل ۶ (نمودار پایین) توزیع خطاهای تعیین موقعیت با یک هیستوگرام وتابع چگالی نرمال برآش داده شده به آن را نشان می‌دهد. یک ناریبی در هر سه جهت دیده می‌شود (cm < 75 مقدار میانگین) درحالی که انحراف معیار مؤلفه‌های افقی به ترتیب ۵۹ cm و ۲۸ cm در جهت N و U هستند. مقادیر rms نیز برای هر کدام از مؤلفه‌ها به ترتیب ۳۵ cm، ۹۶ cm و ۷۵ cm بدست آمده‌اند. انحراف معیار مؤلفه‌های افقی بدون استفاده از مدل کلابچار به ترتیب ۷۴ cm، ۳۵ cm و ۲۹ cm در جهت N، E و U به دست می‌آیند.

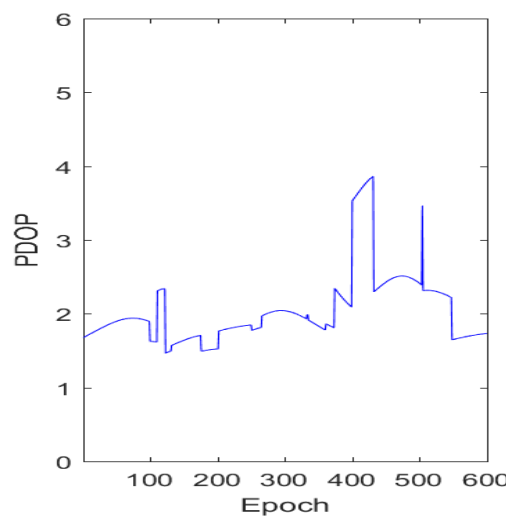
اولین معیار برای اعتبارسنجی فیلتر کالمن همگرایی اثر^{۱۵} ماتریس وزن (P_k) و متناظر با آن همگرایی انحراف معیار مؤلفه‌های وضعیت سیستم است [۴]. شکل (۷) (نمودار سمت چپ) اثر ماتریس



شکل ۲- نمودار رؤیت آسمانی ماهواره‌ها



شکل ۳- نمودار تعداد ماهواره‌ها



شکل ۴- نمودار PDOPs

از آنجاکه معیار همگرایی اثر ماتریس وزن به عنوان یک شاخص اطمینان داخلی می‌تواند مورد استفاده قرار گیرد [۴] لذا ما در مرحله بعد، بردار باقیماندها را مورد آزمون قرار دادیم. با فرض اینکه باقیمانده‌های مشاهدات و نیز باقیمانده‌های وضعیت سیستم در فرآیند فیلترینگ کالمن به صورت زیر تعریف شود:

$$\begin{aligned} d_k &= \Delta y_k - A_k \Delta \hat{x}_k \\ r_{\Delta x_k} &= K_k d_k \end{aligned} \quad (11)$$

آنگاه متناظر با هر کدام از این باقیماندها، آماره‌های زیر را می‌توانیم تعریف کنیم:

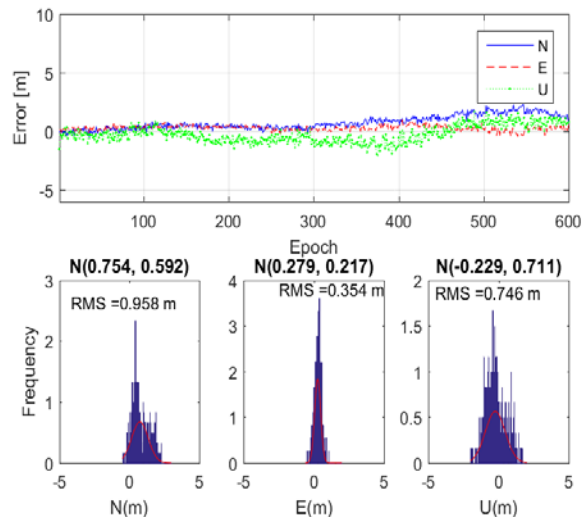
$$\begin{aligned} s_{d,k}^2 &= d_k^T D_k^{-1} d_k \sim \chi_{m,1-\alpha}^2 \\ s_{r_{\Delta x_k}}^2 &= \frac{r_{\Delta x_k}^T P_{r_{\Delta x_k}}^{-1} r_{\Delta x_k}}{\sigma_0^2} \sim \chi_{n,1-\alpha}^2 \end{aligned} \quad (12)$$

$P_{r_{\Delta x_k}} = K_k D_k K_k^T$ و $D_k = R_k + A_k P_k A_k^T$ که در آنها α سطح معنی‌دار آزمون و m و n به ترتیب تعداد مشاهدات و تعداد مجھولات در هر اپک است. اگر $s_{d,k}^2 < \chi_{m,1-\alpha}^2$ می‌توان نتیجه گرفت که هیچ اختلاف معنی‌داری بین وضعیت سیستم و مدل اندازه‌گیری وجود ندارد. همچنین اگر $s_{r_{\Delta x_k}}^2 > \chi_{n,1-\alpha}^2$ باشد در این صورت ناسازگاری در مدل رخ داده است.

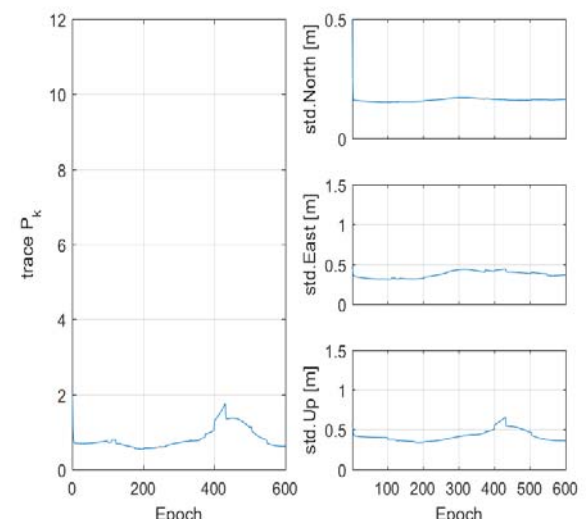
در پردازش فیلتر کالمن به صورت کینماتیکی سطح معنی‌دار به صورت $\alpha = 0.01$ در نظر گرفته شده است. تعداد مجھولات در هر اپک شامل هفت پارامتر است در حالی که برای محاسبه توزیع χ^2 تعداد اندازه‌گیری‌ها نه در نظر گرفته شده است، زیرا در بیشتر مواقع نه ماھواره ردیابی شده است. بنابراین، در سطح اطمینان ۹۹٪ برای بردار اندازه‌گیری‌ها $21.666 = \chi^2_{0.99,9}$ و برای بردار وضعیت سیستم $18.475 = \chi^2_{0.99,7}$ است.

نتایج آزمون آماری برای مربع باقیمانده‌های مشاهدات و نیز مربع باقیمانده‌های وضعیت سیستم در شکل (۸) نشان داده شده است. شکل ۸ (نمودار سمت چپ) آزمون باقیمانده‌های مشاهدات براساس توزیع χ^2 را نشان می‌دهد. تعداد ۴۵ تا از مربع باقیمانده‌ها در خارج از ناحیه اطمینان قرار دارد و این دلالت بر این می‌کند که اختلاف معنی‌دار بین سیستم و مدل اندازه‌گیری فقط در ۷/۵٪ از کل اپک‌ها وجود دارد. به منظور مطالعه وجود خطاهای مدل، در مرحله بعد، خطاهای وضعیت سیستم در تمام اپک‌ها (نمودار سمت راست) محاسبه شده است. برای $n = 7$ مقدار χ^2 در سطح اطمینان ۹۹٪ برابر $18/475$ است. نمودار نشان می‌دهد که همه مقادیر در داخل ناحیه اطمینان است و این دلالت بر سازگاری مدل می‌کند.

کووریانس وضعیت سیستم (P_k) را نشان می‌دهد. برای $s_p = 10^{-3} \frac{m^2}{rad.s}$ اثر به سمت عدد ۶/۰ همگرا است. متناظر با اثر ماتریس وزن، انحراف معیار مؤلفه‌های وضعیت سیستم به ترتیب به اعداد ۱۷/۰ در جهت E و ۳۷/۰ در جهت N و ۳۴/۰ در جهت U همگراست (نمودار سمت راست). همان گونه که از شکل (۷) مشخص است دقت تعیین موقعیت در اپک ۴۳۰ و حوالی آن کاهش یافته است و این به دلیل کاهش تعداد ماهواره‌ها (شکل ۳) و در نتیجه افزایش PDOP‌ها (شکل ۴) رخ داده است.



شکل ۶- خطاهای تعیین موقعیت کینماتیکی SPP در جهات N، E و U (نمودار بالا)، توزیع خطاهای تعیین موقعیت (نمودار پایین) در شرایط طوفان ژئومغناطیسی شدید در روز ۲۶ فوریه ۲۰۱۸ ایستگاه تهران برای . $s_p = 10^{-3} \frac{m^2}{rad.s}$



شکل ۷- اثر ماتریس وزن (P_k) وضعیت سیستم (نمودار سمت چپ)، انحراف معیارهای مؤلفه‌های وضعیت سیستم در سه جهت N، E و U.

نتیجه‌گیری

تعیین موقعیت نقطه‌ای استاندارد SPP در دو روز مختلف با استفاده از الگوریتم فیلتر کالمون و به کارگیری مدل یونسfer غیر دقیق C/A کلابچار در حالت کینماتیک براساس مشاهدات غیردقیق کد دستیابی و بررسی قرارگرفت و نشان داده شد که دقت‌هایی در سطح چند دسی‌متر در شرایط طوفان ژئومغناطیسی شدید قابل دستیابی است. اعتبارسنجی نتایج حاصل از فیلترینگ کالمون، به وسیله آنالیز داده‌های از ایستگاه دائمی تهران و با به کارگیری آزمون‌های آماری متناظر در حوزه اندازه‌گیری و وضعیت سیستم انجام پذیرفت. نتایج آماری نشان می‌دهد که حدود ۴٪^۸ از مربعات باقی‌مانده‌های اندازه‌گیری‌ها در خارج از سطح اطمینان قرار می‌گیرند، در حالی که همه مربعات باقی‌مانده‌های وضعیت سیستم در محدوده سطح اطمینان واقع می‌شوند. برای تحقیقات بعدی توصیه می‌شود جهت بهبود نتایج، داده‌های Multi-GNSS و مدل یونسfer دقیق محلی نیز مورد توجه قرار گیرد.

مراجع

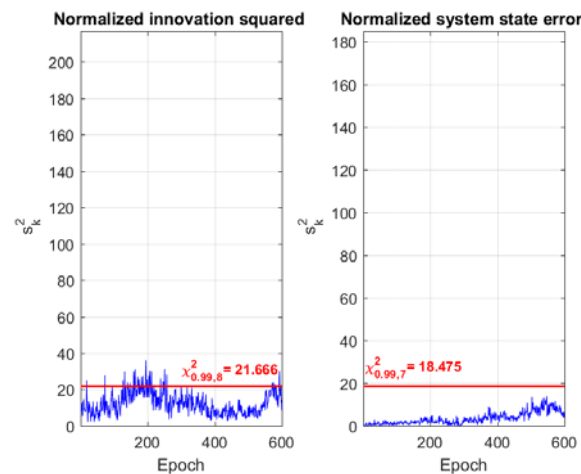
- [1] S. Bogatin, K. Foppe, P. Wasmeier, T. A. Wunderich, T. Schafer and D. Kogoj, "Evaluation of linear Kalman filter processing geodetic kinematic measurements", *Measurement*, vol. 41, pp. 561--578, 2008.
- [2] S. L. Choy, "An investigation into the accuracy of single frequency precise point positioning," Ph.D. thesis, RMIT University, Australia, 2009.
- [3] V.V. Demyanov, X. Zhang and X. Lu, "Moderate geomagnetic storm condition, WAAS Alerts and real GPS positioning quality," *Journal of Atmospheric Science Research*. vol.2, no. 1, pp. 10-23, 2019.
- [4] S. Gamse, F. Nobakht-Ersi and M.A. Sharifi, "Statistical process control of a Kalman filter model", *Sensors*, .vol 14, .no10, 18053–18074, 2014.
- [5] Y. Gao and X. Shen, "A new method for carrier phase based precise point positioning navigation", *Journal of the Institute of Navigation*, vol. 49m no. 2, pp.109-116, 2002.
- [6] B. Hofmann-Wellenhof, H. Lichtenegger and E. Wasle, *GNSS Global Navigation Satellite Systems: GPS, Glonass, Galileo & More*, Springer Wien, New York, 501 p, 2008.
- [7] J.A. Klobuchar, "Ionospheric time-delay algorithm for single-frequency GPS users," *IEEE Transactions on Aerospace and Electronic Systems*, vol. AES. 23, no. 3, pp. 325-331, 1987.
- [8] W. Liu, "Positioning performance of single frequency GNSS receivers using Australian regional ionospheric corrections", MSc. Thesis, Queensland Univ. of Technology, 2016.

آنالیز مشابه در روز ۲۰ دسامبر ۲۰۱۵ در شرایط طوفان ژئومغناطیسی شدید انجام شده است. فقط نتایج نهایی در جدول ۱ آمده است:

جدول ۱ - نتایج SPP برای روز ۲۰ دسامبر ۲۰۱۵

	N	E	U
میانگین	۰/۱۳۵	۰/۴۵۷	۱/۳۳۳
std	۰/۳۲۹	۰/۳۲۸	۰/۵۷۸
rms	۰/۳۵۶	۰/۵۶۲	۱/۴۵۲

در این مورد نیز، یک نالریبی در هر سه جهت دیده می‌شود (مقدار میانگین) در حالی که انحراف میانگین مؤلفه‌های افقی به ترتیب ۵۸ cm, ۳۳ cm و ۳۶ cm در جهت N, E و U هستند. مقادیر rms نیز برای هر کدام از مؤلفه‌ها به ترتیب ۵۶ cm, ۴۳ cm و ۴۲ cm می‌باشند. به دست آمده‌اند. برای حالتی که مدل کلابچار استفاده نشود.



شکل ۸ - (نمودار سمت چپ) مریع باقی‌مانده‌های مشاهدات، (نمودار سمت راست) مریع خطاهای وضعیت سیستم براساس میانگین مؤلفه‌های کینماتیک برای تمام اپکها.

انحراف میانگین مؤلفه‌های افقی به ترتیب ۴۳ cm, ۴۲ cm و ۴۱ cm در جهت N, E و U حاصل می‌شود. برای اپک s_p = 10⁻³ m²/rad.s اثر به سمت عدد ۷/۰ همگراست. متناظر با اثر ماتریس وزن، انحراف میانگین مؤلفه‌های وضعیت سیستم به ترتیب به اعداد ۰/۳۵ در جهت N, ۰/۳۸ در جهت E و ۰/۴۰ در جهت U همگراست. نتایج آزمون آماری برای مریع باقی‌مانده‌های مشاهدات نشان می‌دهد که فقط ۲۲ تا از مریع باقی‌مانده‌ها (۴٪ از کل داده‌ها) در خارج از ناحیه اطمینان قرار دارد در حالی که تمام مریعات باقی‌مانده‌های وضعیت سیستم در داخل ناحیه اطمینان قرار دارند.

- positioning using multi-constellation global navigation satellite system (GNSS) observations”, *ISPRS Int.J. Geo-Inf.*, vol6 .no ,6, 2017.
- [13] J.F. Zumberge, M.B. Heflin, D.C. Jefferson, M.M. Watkins and F.H. Webb, “Precise point positioning for the efficient and robust analysis of GPS data from large networks”, *Journal of Geophysical Research*, 102, Issue B3, pp.5005-5017,1997.
- [14] Available, [on line]: <http://cddis.nasa.gov/gnss/data>
- [15] Available, [on line]: <https://cdaweb.sci.gsfc.nasa.gov/>
- [16] Available, [on line]: <http://wdc.kugi.kyoto.ac.jp/dstdir/>
- [9] D. Odijk, *Fast precise GPS positioning in the presence of ionospheric delays*, Publications on geodesy, 52, Netherlands Geodetic Commission, Delft, The Netherlands, 2002.
- [10] J.S. Subirana, J.M.J. Zornoza and M. Hernandez-Pajares, *ESA_GNSS data processing*, Vol. I: Fundamentals and Algorithms, ESA Communications, The Netherlands , 2013.
- [11] P.J.G. Teunissen, and A. Kleusberg, *GPS for geodesy*, 2nd edition, Springer-Verlag, 1998.
- [12] X. Yu and J. Gao, “Kinematic precise point